

шей частоте, чем резонанс (кривая  $v$  на рис. 4). В этом случае при  $p \rightarrow \infty$   $|W(p)| > 1$ , а при  $p \rightarrow 0$   $|W(p)| = 1$ .

**Заключение.** Из приведенного можно сделать вывод о том, что  $M = mi$  является «узловым» соотношением в настройке динамического гасителя колебаний.

Влияние сил сопротивления, учитываемых как вязкое сопротивление при движении объекта защиты относительно внешней среды, можно учесть через введение звена с передаточной функцией  $bp$ . Тогда передаточная функция (17) преобразуется к виду:

$$W(p)_1 = \frac{mi(i+1)p^2 + bp + k}{(M + mi^2)p^2 + kp + k}. \quad (23)$$

Введение  $bp$  приводит к изменению амплитуд колебаний при резонансе и при режиме динамического гашения. Если полагать, что  $b \rightarrow \infty$ , то система запирается, и амплитудно-частотная характеристика принимает вид, соответствующий случаю  $M = mi$  (прямая  $v$ , рис. 4).

При изменении  $v$  в достаточно широких пределах вид амплитудно-частотных характеристик будет изменяться. Отметим, что влияние сил сопротивления может иметь критическое значение отдельно для числителя передаточной функции (23) и для знаменателя: в первом случае

$$\frac{b}{2mi(i+1)} = k; \quad (24)$$

во втором случае

$$\frac{b}{2(M + mi^2)} = n. \quad (25)$$

При выполнении соотношения  $M = mi$ , (24) и (25) совпадают, и система «запирается».

#### Литература

1. Елисеев С.В. Динамические гасители колебаний / С.В. Елисеев, Г.П. Нерубенко. – Новосибирск: Наука, 1982. – 142 с.
2. Корнев Б.Г. Динамические гасители колебаний, теория и технические приложения / Б.Г. Корнев, П.М. Резников. – М.: Наука. 1968 г. – 535 с.
3. Карамышкин В.В. Динамические гасители колебаний / В.В. Карамышкин. –Л.: Машиностроение. 1988 г. – 108 с.
4. Елисеев С.В. К вопросу о построении математических моделей виброзащитных систем с динамическими гасителями нетрадиционного типа // С.В. Елисеев, Ю.В. Ермошенко, А.Н. Трофимов// Современные технологии. Системный анализ. Моделирование. – Вып № 2(30).- Иркутск: ИрГУПС. 2011. С. 78-83.

УДК 62-762.6; 621.22

П.М. Огар\*, А.А. Бурнин, Е.А. Ключев

### ТОЛЩИНА СМАЗОЧНОГО СЛОЯ УПЛОТНИТЕЛЬНОГО КОЛЬЦА КРУГЛОГО СЕЧЕНИЯ С УЧЕТОМ ПРЕДВАРИТЕЛЬНОГО ОБЖАТИЯ

*Разработана методика определения толщины смазочного слоя для эластичного кольца круглого сечения при возвратно-поступательном движении. При этом учтены давление и вязкость рабочей среды, скорость движения, предварительное обжатие, определяющее распределение контактного давления и впускную щель.*

**Ключевые слова:** уплотнение поступательного движения, кольцо круглого сечения, предварительное обжатие, ширина контакта, контактное давление, толщина масляного слоя, величина утечки.

Для герметизации неподвижных и подвижных соединений широко применяются эластичные уплотнительные кольца круглого сечения (тороидальные прокладки), которые являются универсальными уплотнителями. В

случае радиальной деформации возможна установка колец в гнезда, выполненные на штоке или в цилиндре. Более удобно монтировать кольцо в гнезда, выполненные в штоке (рис.

\* - автор, с которым следует вести переписку.

1), так как при этом уменьшается опасность его срезания или вытаскивания из гнезда [1].

Деформация кольца по сечению неравномерна и в точке максимального сжатия составляет

$$\varepsilon = \frac{d-h}{d} = 1 - \frac{h}{d},$$

отсюда

$$\frac{h}{d} = 1 - \varepsilon. \quad (1)$$

Допустимые пределы относительной деформации кольца принимаются [1]: для неподвижных соединений  $0,15 \leq \varepsilon \leq 0,35$ ; для подвижных  $0,1 \leq \varepsilon \leq 0,25$ .

Уровень надежности уплотнительного узла определяется его герметичностью – величиной утечки через уплотнительный стык. Механизм утечек зависит от состояния области контакта [2]. Течение по зазорам и микроканалам под влиянием перепада давлений  $\Delta p$  свойственно маловязким жидкостям. При малых значениях вязкости среды и скорости движения механизм утечек такой же, как и в неподвижных уплотнениях. Сплошная пленка смазочного материала отсутствует, поэтому смазка имеет характер граничной. Описание закономерностей такого течения в уплотнительном стыке представлено в работах [3, 4, 5].

Гидродинамический механизм образования пленки жидкого смазочного материала под действием фрикционного потока наиболее характерен для уплотнений подвижных соединений общепромышленного назначения эксплуатируемых в среде масла. Количественная величина утечки среды за двойной ход

определяется разностью толщин пленок при прямом и обратном ходах контртела [2]. В этой связи представляет интерес определение толщины масляного слоя для подвижных соединений, которая определяет величину утечки и условия трения, в зависимости от условий эксплуатации и величины предварительного обжатия.

При деформации уплотнительного кольца ширина контакта соизмерима с радиусом кривизны, поэтому применение в этом случае теории Герца неуместно. Механика деформации кольца круглого сечения рассмотрена авторами в работе [6]. Для этой цели были использованы экспериментальные исследования [7] ширины деформированного кольца  $d'$  (рис 1.а), описываемой уравнением

$$\bar{d} = \frac{d'}{d} = \frac{1}{1-\varepsilon} - 0,6\varepsilon. \quad (2)$$

$$(1-\varepsilon) \left[ 4\bar{s}_0 - \frac{(1-\varepsilon)^2}{\bar{d} - \bar{s}_0} + (\bar{d} - \bar{s}_0) \right] - \pi + \frac{1}{2} \left( \bar{d} - \bar{s}_0 + \frac{(1-\varepsilon)^2}{\bar{d} - \bar{s}_0} \right)^2 \times \arcsin \left( \frac{2(1-\varepsilon)(\bar{d} - \bar{s}_0)}{(\bar{d} - \bar{s}_0)^2 + (1-\varepsilon)^2} \right) = 0 \quad (3)$$

Из условия неизменности объема кольца авторами [2] получены выражения:

$$r' = \frac{1}{4} \left( d' - s_0 + \frac{h^2}{d' - s_0} \right), \quad (4)$$

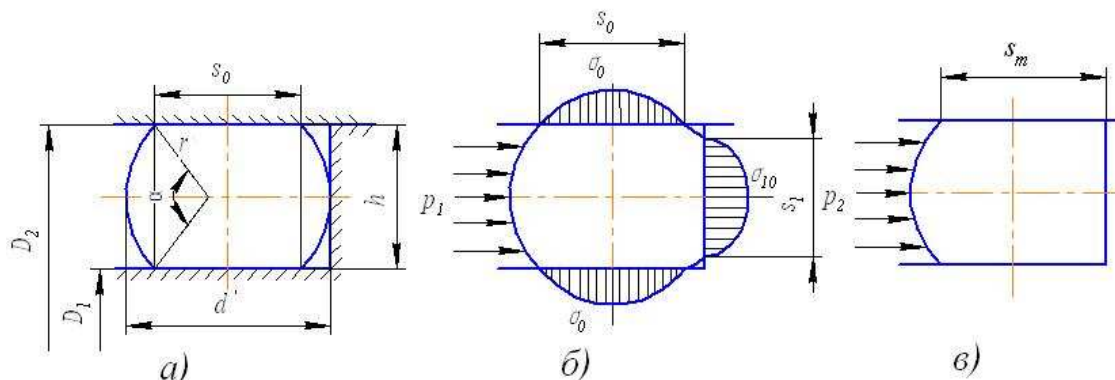


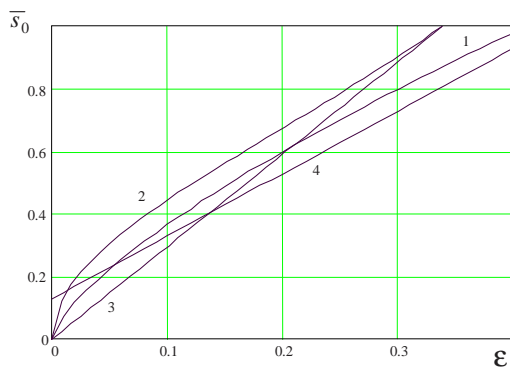
Рис. 1 Схемы контактирования уплотнительного кольца.

$$\alpha = 2 \arcsin \left( \frac{2h}{d' - s_0 - h^2 / (d' - s_0)} \right), \quad (5)$$

где  $\bar{s}_0 = s_0 / d$ ,  $r'$  и  $\alpha$  – радиус кривизны и угол бокового сегмента.

На рис.2 представлена зависимость  $\bar{s}_0(\epsilon)$  полученная в среде Mathcad из уравнения (3) (кривая 1). Там же представлены аналогичные зависимости (кривые 2, 3 и 4), рассчитанные соответственно по данным [8, 1, 9]. Как следует из рис. 2, полученная зависимость (кривая 1) занимает промежуточное положение среди аналогичных зависимостей других исследователей, что свидетельствует о приемлемости предложенного подхода. Зависимость (3) с достаточной для инженерных расчетов точностью (погрешность менее 5%) в диапазоне  $0 \leq \epsilon \leq 0,4$  можно аппроксимировать выражением

$$\bar{s}_0 = 1,88\epsilon^{0,71}. \quad (6)$$



**Рис. 2. Зависимости  $\bar{s}_0(\epsilon)$ : кривая 1 соответствует уравнению (3), кривые 2,3,4 – соответственно источникам [8], [1], [9].**

Распределение контактного давления на площадке контакта по данным [1]

$$\sigma(x) = \sigma_0 \left( 1 - \frac{x^2}{(s_0/2)^2} \right), \quad (7)$$

т.е. отличное от герцевского. При этом интенсивность нагрузки

$$\omega_0 = \int_{-s_0/2}^{s_0/2} \sigma(x) dx = \frac{2}{3} \sigma_0 s_0, \quad (8)$$

а средние контактные давления

$$\sigma_m = \frac{\omega}{s} = \frac{2}{3} \sigma_0. \quad (14)$$

Используя уравнение Бартенева – Хазановича для одноосной деформации и экспериментально установленное значение приведенного модуля кольца  $E^* = 1,25E$ , где  $E$  – модуль упругости эластомера, для максимального контактного напряжения получим [1]

$$\sigma_0 = \frac{5}{6} E \left( (1-\epsilon)^{-0,5} - (1-\epsilon) \right). \quad (9)$$

Уравнение (9) для диапазона  $0 \leq \epsilon \leq 0,3$  с погрешностью менее 5% аппроксимируется следующим выражением

$$\frac{\sigma_0}{E} = \frac{4}{3} \epsilon. \quad (10)$$

Используя зависимость (6) получим

$$\frac{\sigma_0}{E} = 0,548 \bar{s}_0^{1,408}. \quad (11)$$

Когда в уплотняемой плоскости возникает давление, достаточное для деформации уплотнительного элемента, его материал ведет себя подобно вязкой жидкости и передает давление  $p_s$  на стенки, однако среднее контактное давление несколько меньше, чем простое сложение  $(\sigma_i + p_s)$ , что учитывается коэффициентом передачи давления  $\phi$  [10]

$$\sigma_k = \sigma_i + \phi \cdot p_s, \quad (12)$$

где  $\phi$  – коэффициент передачи давления в условиях всестороннего сжатия, определяемый в основном коэффициентом Пуассона  $\nu$ . Для резин  $\nu = 0,48...0,496$ , поэтому

$$\phi = \nu / (1 - \nu) = 0,92...0,98.$$

При возрастании давления  $p_s$  кольцо некоторое время удерживается силами трения, а затем начальный центр смещается вправо и в дальнейшем принимает форму канавки. Считаем, что выдавливание кольца в зазор не происходит, что возможно при наличии протектора [10].

В процессе заполнения свободного объема происходит увеличение начальной ширины площадки контакта  $\bar{s}_0$  на величину  $\Delta \bar{s} = \frac{\Delta s}{d}$ .

В работе [6]  $\Delta\bar{s}$  определено из условия постоянства объема сечения кольца

$$\Delta\bar{s} = \frac{1}{8} \times \arcsin \left( \frac{\frac{(1-\varepsilon)(\bar{d}' - \bar{s}_0)}{1-\varepsilon} + \frac{1-\varepsilon}{\bar{d}' - \bar{s}_0}}{\left(\frac{\bar{d}' - \bar{s}_0}{1-\varepsilon}\right)^2 + (1-\varepsilon)^2} \right) - \left( \frac{(1-\varepsilon)^2}{\bar{d}' - \bar{s}_0} - (\bar{d}' - \bar{s}_0) \right) \quad (15)$$

Автор [8] указывает, что процесс заполнения свободного объема происходит экспоненциально

$$\bar{s}_m = \bar{s}_0 + \Delta\bar{s}(1 - e^{-p/E}), \quad (16)$$

$$\Delta\bar{s} = \frac{3}{16} \cdot \frac{\alpha - \sin \alpha}{1 - \varepsilon}.$$

По данным [9]

$$\bar{s}_m = (2\varepsilon + 0,13) + (0,44 - \varepsilon)(1 - e^{-3,5p/E}) \quad (17)$$

Как следует из уравнений (15)–(17), нет единого мнения при определении величины  $\bar{s}_m$ , и этот вопрос требует дополнительных исследований, так как величина  $\bar{s}_m$  при известном  $\varepsilon$  определяет величину впускной щели.

Для демонстрации влияния впускной щели на величину толщины масляного слоя воспользуемся методикой [11] и данными работы [6], согласно которой радиус кривизны и угол бокового сегмента описываются выражениями (4) и (5).

Впускная щель образуется неконтактирующей частью уплотнительного кольца и поверхностью контртела. При отсутствии движения контртела прокладка прижата к его поверхности. При движении контртела за счет гидродинамических сил на краю контакта в точке  $w_1$ , образуется зазор высотой  $h_1$  (рис.3).

Зависимость между высотой  $h_1$ , гидродинамическим давлением в нем  $p$ , вязкостью  $\eta$  и скоростью  $u$  описывается уравнением Рейнольдса

$$\frac{dp}{dx} = \frac{6\eta u(h - h_0)}{h^3}, \quad (18)$$

где  $\frac{dp}{dx}$  - градиент давления,  $h_0$  - толщина пленки в том положении, где  $\frac{dp}{dx} = 0$ .

Считаем, что при неподвижном контакте уравнение поверхности эластомера описывается функцией  $y = f(x)$ . Сделаем следующее допущение: при движении вид эластичной стенки щели описывается уравнением

$$y = h_1 + f(x). \quad (19)$$

Введем следующее обозначение

$$m = \frac{h_1}{h_0}, \quad (20)$$

исходя из уравнения Рейнольдса  $1 < m \leq 1,5$ .

Перейдем к относительным координатам

$$\lambda = \frac{x}{d}; \quad dx = d \cdot d\lambda; \quad \bar{h}(\lambda) = \frac{h(\lambda)}{h_1}.$$

Выражение (18) представим в виде:

$$\frac{dp}{dx} = \frac{6\eta u h_1 \left( \frac{h}{h_1} - \frac{h_0}{h_1} \right)}{h_1^3 \frac{h^3}{h_1}}. \quad (21)$$

Тогда из выражения (21) получим

$$\frac{dp}{d\lambda} = k \frac{\bar{h}(\lambda) - \frac{1}{m}}{\bar{h}^3(\lambda)}, \quad (22)$$

где  $k = \frac{6\eta u d}{h_1^2}$ .

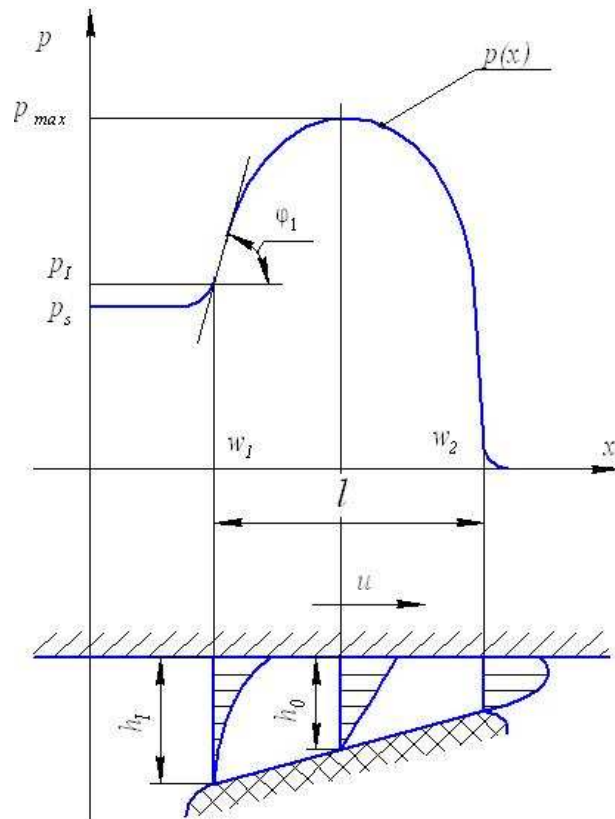


Рис. 3. Распределение давления и схема зазора в эластомерном уплотнении при прямом ходе.

Учитывая направление градиента давления и используя граничные условия: при  $\lambda = 0$   $p = p_s$ ; при  $\lambda = \lambda^*$   $p = p_1$ , из выражения (22) получим

$$p_1 = p_s + k \left[ I_1 - \frac{I_2}{m} \right], \quad (23)$$

где  $I_1 = \int_0^{\lambda^*} \bar{h}^{-2}(\lambda) d\lambda$ ,  $I_2 = \int_0^{\lambda^*} \bar{h}^{-3}(\lambda) d\lambda$ .

Согласно выражению (19)

$$h(\lambda) = 1 + \frac{y(\lambda)}{h_1}. \quad (24)$$

Из уравнения (18) следует

$$h_1 = \sqrt{\frac{6\eta u}{p'_{wl}}} \cdot \sqrt{1 - \frac{1}{m}}. \quad (25)$$

Согласно выражению (12) и с учетом (6), (7) и (11)

$$p'_{wl} = \sigma' \Big|_{x=-\frac{s_0}{2}} = 2,193 \bar{s}_0^{-0,408} E / d. \quad (26)$$

Подставляя полученное выражение в (25) имеем

$$h_1 = \sqrt{\frac{6\eta u d}{2,193 E \bar{s}_0^{0,408}}} \cdot \sqrt{1 - \frac{1}{m}}, \quad (26a)$$

$$\bar{h}_1(m, \varepsilon) = \frac{h_1}{d} = \sqrt{\frac{2,736 \eta u}{d E \bar{s}_0(\varepsilon)}} \cdot \sqrt{1 - \frac{1}{m}}. \quad (26b)$$

Следовательно коэффициент  $k$  из выражения (22) равен

$$k = 2,193 E \bar{s}_0^{0,408} \frac{m}{m-1}. \quad (27)$$

Подставляя выражение (27) в (23) получим

$$\frac{p_1}{E} = \frac{p_s}{E} + \frac{2,193 m \bar{s}_0^{0,408}}{m-1} \left[ I_1 - \frac{I_2}{m} \right]. \quad (28)$$

Для вычисления интегралов  $I_1$  и  $I_2$  остается определить функцию  $y = (\lambda)$ , входящую в выражение (24). Используем схему сечения неконтактирующей части уплотнительного кольца (рис.4).

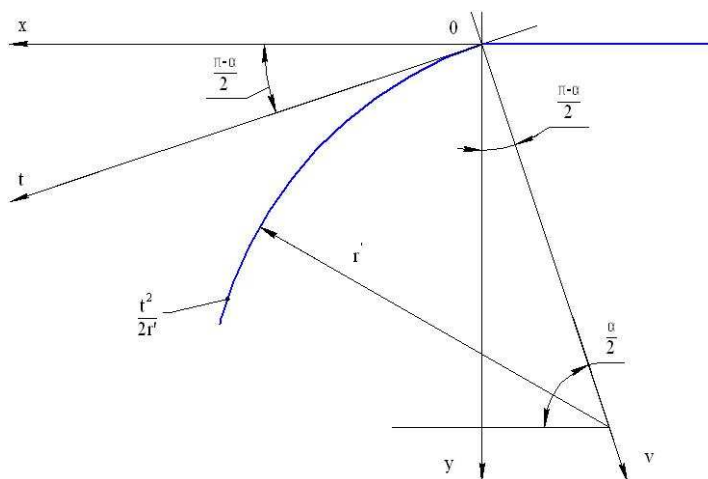


Рис. 4. Схема сечения неконтактирующей части уплотнительного кольца.

В системе координат  $v-t$  неконтактирующая часть кольца описывается уравнением

$$v = \frac{t^2}{2r'},$$

где величина  $r' = r'(\varepsilon)$  определяется выражением (4).

В новой системе координат  $y-x$  неконтактирующая часть кольца с учетом поворота осей по часовой стрелке на угол  $\frac{\pi-\alpha}{2}$  описывается следующими уравнениями в параметрической форме

$$x(t, \varepsilon) = t \cos\left(\frac{\pi-\alpha(\varepsilon)}{2}\right) - \quad (29a)$$

$$-\frac{t^2}{2r'(\varepsilon)} \sin\left(\frac{\pi-\alpha(\varepsilon)}{2}\right),$$

$$y(t, \varepsilon) = t \sin\left(\frac{\pi-\alpha(\varepsilon)}{2}\right) + \quad (29b)$$

$$+\frac{t^2}{2r'(\varepsilon)} \cos\left(\frac{\pi-\alpha(\varepsilon)}{2}\right),$$

где  $\alpha(\varepsilon)$  - угол, определяемый выражением (5).

Исключая параметр  $t$  из уравнения (29a) и подставляя его в (29b) получим

$$\bar{t}(\lambda, \varepsilon) = \frac{t}{d} = \bar{r}'(\varepsilon) \operatorname{ctg}\left(\frac{\pi-\alpha(\varepsilon)}{2}\right) - \sqrt{\bar{r}'^2(\varepsilon) \operatorname{ctg}^2\left(\frac{\pi-\alpha(\varepsilon)}{2}\right) - \frac{2r'(\varepsilon)\lambda}{\sin\left(\frac{\pi-\alpha(\varepsilon)}{2}\right)}}, \quad (30)$$

$$\bar{y}(\lambda, \varepsilon) = \bar{t}(\lambda, \varepsilon) \sin\left(\frac{\pi-\alpha(\varepsilon)}{2}\right) - \frac{\bar{t}^2(\lambda, \varepsilon)}{2r'(\varepsilon)} \cos\left(\frac{\pi-\alpha(\varepsilon)}{2}\right). \quad (31)$$

Зависимости  $\bar{y}(\lambda, \varepsilon)$ , рассчитанные по выражениям (30) и (31), представлены на рис 5.

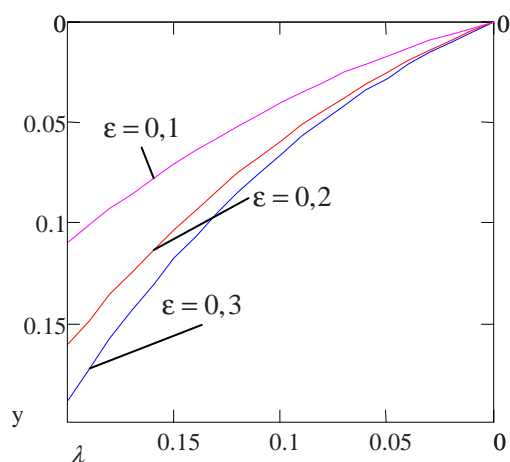


Рис. 5. Уравнение неконтактирующей части уплотнительного кольца при отсутствии движения контртела.

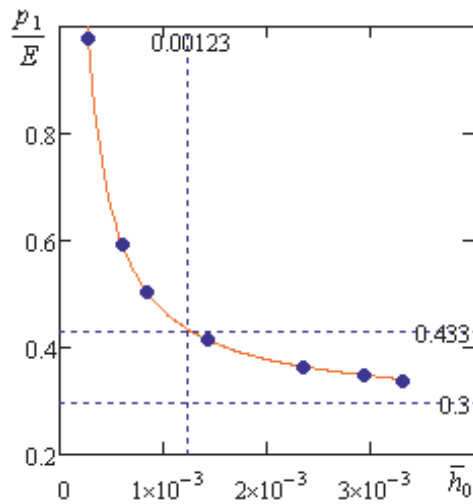
С учетом выражения (24) интегралы  $I_1$  и  $I_2$  равны:

$$I_1(\varepsilon, m) = \int_0^{\lambda^*} \left(1 + \frac{\bar{y}(\lambda, \varepsilon)}{h_1(m, \varepsilon)}\right)^{-2} d\lambda, \quad (32)$$

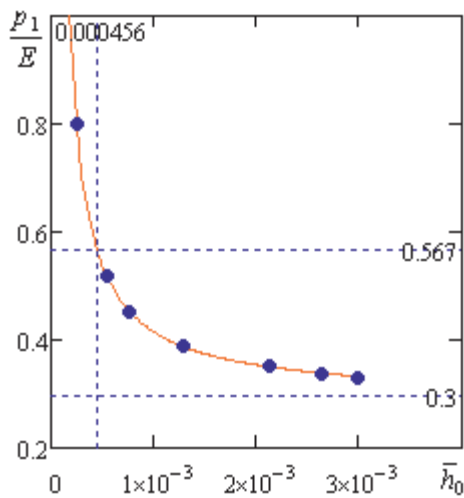
$$I_2(\varepsilon, m) = \int_0^{\lambda^*} \left(1 + \frac{\bar{y}(\lambda, \varepsilon)}{h_1(m, \varepsilon)}\right)^{-3} d\lambda, \quad (33)$$

Подставляя выражения (32) и (33) в (28) и учитывая что  $\bar{p}_1 = p_1/E$ ,  $\bar{p}_s = p_s/E$ , получим

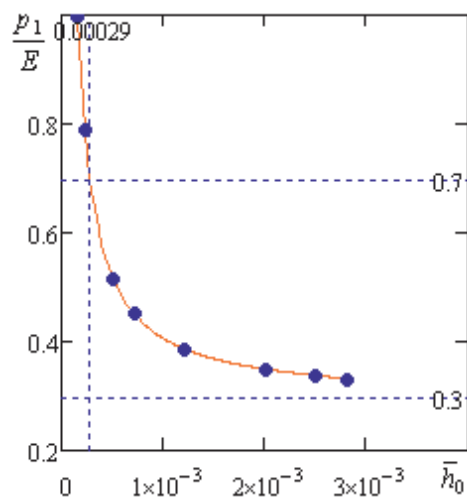




а)



б)



в)

**Рис. 6. Зависимости относительного давления  $\frac{p_1}{E}(\bar{h}_0)$  для  $\frac{p_s}{E} = 0,3$  при:  $\varepsilon = 0,1$  (а);  $\varepsilon = 0,2$  (б);  $\varepsilon = 0,3$  (в).**

$$\bar{p}_1(m, \varepsilon) = \bar{p}_s + \frac{2,193ms_0^{0,408}(\varepsilon)}{m-1} \left[ I_1(m, \varepsilon) - \frac{I_2(m, \varepsilon)}{m} \right]. \quad (34)$$

Имея зависимости  $\bar{p}_1(m, \varepsilon)$  и  $\bar{h}_1(m, \varepsilon)$ , представляется возможность построения зависимостей  $\bar{p}_1 - \bar{h}_1$ , а учитывая, что  $\bar{h}_1 = \bar{h}_0 m$ , также зависимости  $\bar{p}_1 - \bar{h}_0$ , из которых для рассчитанного  $\bar{\sigma}_{k \max}$  определяем относительную толщину масляной пленки  $\bar{h}_0 = h_0 / d$ .

На рис.6 представлены зависимости  $\bar{p}_1 - \bar{h}_0$  для разных значений относительной деформации уплотнительного кольца. Точками на кривых обозначены соответствующие значения параметра  $m$ .

**Заключение.**

1. Как следует из рис. 6, существенное значение на толщину масляной пленки оказывает величина предварительного обжатия. С увеличением относительной деформации от 0,1 до 0,3 толщина масляной пленки уменьшается в 4 раза.

2. Учет впускной щели показал, что для колец круглого сечения значение давления  $p_1$  на 10-15% превышает давление среды  $p_2$ .

3. Предложенная методика определения толщины масляной пленки для уплотнительного кольца круглого сечения, учитывающая давление и вязкость рабочей среды, скорость движения, распределение контактного давления и впускную щель, позволяет оптимизировать величину предварительного обжатия, обеспечивающую минимальную утечку и условия жидкостного трения.

*Литература*

1. Аврущенко Б. Х. Резиновые уплотнители Л.: Химия. 1978. 136 с.
2. Уплотнения и уплотнительная техника: справочник / Л.А. Кондаков [ и др.]; под общ. ред. А.И. Голубева, Л.А. Кондакова. М.: Машиностроение, 1994. 448 с.
3. Огар П.М. Контактные характеристики и герметичность неподвижных стыков пневмогидротопливных систем двигателей летательных аппаратов : дис. ... д-ра. техн. наук. Братск, 1997. 352 с.
4. Огар П.М., Горохов Д.Б., Ключев Е.А. Герметизирующая способность стыка фрактальных шероховатых поверхностей // Совре-

менные технологии. Системный анализ. Моделирование. 2007. № 14. С. 63-65.

5. Огар П.М., Тарасов В.А., Турченко А.В. Герметизирующая способность тяжело нагруженных уплотнительных стыков // Современные технологии. Системный анализ. Моделирование. 2009. № 3. С. 136-142.

6. Алпатов Ю.Н., Бурнин А.А., Огар П.М. Моделирование контактного взаимодействия уплотнительного кольца круглого сечения // Труды Брат. гос. ун-та. Сер. Естественные и инженерные науки – развитию регионов Сибири. 2011. Т. 2. С. 128-134.

7. Добрушкин Д. Б., Савостьянова Э. А. О влиянии диаметра сечения тора на герметизирующую способность радиальных уплотнений. // Каучук и резина. 1968. № 5. С. 39-41.

8. Кондаков Л.А. Уплотнение гидравлических систем. М: Машиностроение. 1972. 240 с.

9. Карашкевич А. Гидромеханика резиновых уплотнений пар возвратно-поступательного движения – утечка уплотняющих колец типа О // Труды VIII междунар. конф. по уплотнительной технике. Дрезден, 1986. С. D49 – D63.

10. Кондаков Л.А. Рабочие жидкости и уплотнения гидравлических систем. М: Машиностроение, 1982. 216 с.

11. Jacewicz J. Bestimmungsmethode der filmschmierdicke fur die elastdichtung bei der hubbewegung unter berucksichtigung der wirkung des eingangsspaltel // IX. International Dichtungstagung. Dresden, 1990. P. 195 – 204.